

ՀՀ ԳԱՏՈՒԹՅՈՒՆՆԵՐԻ ԱԶԳԱՅԻՆ ԱԿԱԴԵՄԻԱ  
Լ.Ա. ՕՐԲԵԼՈՒ ԱՆՎԱՆ ՖԻԶԻՈԼՈԳԻԱՅԻ ԻՆՍՏԻՏՈՒՏ

## ԴՈՒԼԻԿԱՆ ԼՈՒՍԻՆԵ ԱԼՄԻՐԻ

*MACROVIPERA LEBETINA OBTUSA* օքի թուզնի ՊՐՈՏԵԿՏՈՐԱՅԻՆ  
ԱՉԴԵՑՈՒԹՅԱՆ ՄԵԽԱՆԻԶՄՆԵՐԸ ԿՐՈԿԵՐԻ ՍԱՐԿՈՄԱՅԻ ԵՎ  
ԱԼՑԵՑՄԵՐԻ ՀԻՎԱՆԴՈՒԹՅԱՆ ԿԵՆԴԱՆԱԿԱՆ ՄՈԴԵԼՆԵՐԻ ՎՐԱ

Գ.00.09 – «Մարդու և կենդանիների ֆիզիոլոգիա» մասնագիտությամբ  
կենսաբանական գիտությունների թեկնածուի գիտական աստիճանի հայցման  
ատենախոսության

### ՍԵՊԱԿԻՐ

ԵՐԵՎԱՆ – 2017

---

НАЦИОНАЛЬНАЯ АКАДЕМИЯ НАУК РЕСПУБЛИКИ АРМЕНИЯ  
ИНСТИТУТ ФИЗИОЛОГИИ ИМ. Л.А. ОРБЕЛИ

ГУЛИКЯН ЛУСИНЭ АЛМИРОВНА

ПРОТЕКТОРНЫЕ МЕХАНИЗМЫ ВЛИЯНИЯ ЗМЕИНОГО ЯДА *MACROVIPERA LEBETINA OBTUSA* НА ЖИВОТНЫЕ МОДЕЛИ БОЛЕЗНИ АЛЬЦГЕЙМЕРА И  
САРКОМЫ КРОКЕРА

### ԱՎՏՈՐԵՓԵՐԱՏ

диссертации на соискание ученой степени кандидата биологических наук по  
специальности 03.00.09 - «Физиология человека и животных»

Երևան - 2017

Ատենախոսության թեման հաստատվել է <<ԳԱԱ Լ.Ա. Օրբելու անվան Ֆիզիոլոգիայի ինստիտուտի գիտական խորհրդում:

Գիտական ղեկավար՝

Կենս. գիտ. դոկտոր Ն.Մ. Այվազյան

Պաշտոնական ընդդիմախոսներ՝

Կենս. գիտ. դոկտոր

Վ.Ա. Զավուշյան-Պապյան

Կենս. գիտ. թեկ. Մ.Վ. Պողոսյան

Առաջատար կազմակերպություն Մ. Հերացու անվան Երևանի Պետական  
Բժշկական Համալսարան

Ատենախոսության պաշտպանությունը կայանալու է 2017թ. ապրիլի 4-ին ժամը 14<sup>00</sup>-ին <<ԳԱԱ Լ.Ա. Օրբելու անվան Ֆիզիոլոգիայի ինստիտուտում, Ֆիզիոլոգիայի 023 մասնագիտական խորհրդի նիստում (0028, Երևան, Օրբելի եղբ. փող. 22):

Ատենախոսությանը կարելի է ծանոթանալ <<ԳԱԱ Լ.Ա. Օրբելու անվան Ֆիզիոլոգիայի ինստիտուտի գրադարանում և [www.physiol.sci.am](http://www.physiol.sci.am) կայքում:

Ատենախոսության սեղմագիրն առաքվել է 2017թ. մարտի 3-ին:

023 մասնագիտական խորհրդի

Գիտական քարտուղար *Աբելյան*

կ.գ.թ. Ն. Է. Թադևոսյան

---

Тема диссертации утверждена на заседании Ученого Совета Института физиологии им. Л. А. Орбели НАН РА.

Научный руководитель: доктор биол. наук Н. М. Айвазян

Официальные оппоненты: доктор биол. наук В.А. Чавушян-Папян  
кандидат биол. наук М. В. Погосян

Ведущая организация: Ереванский Государственный медицинский  
университет им. М. Гераци

Зашита диссертации состоится 4-ого апреля 2017г. в 14<sup>00</sup> часов, на заседании  
Специализированного совета 023 по Физиологии, в Институте физиологии им. Л.А.  
Орбели НАН РА (0028, г. Ереван, ул. Бр. Орбели 22).

С диссертацией можно ознакомиться в библиотеке Института физиологии им. Л.А.  
Орбели НАН РА и на сайте [www.physiol.sci.am](http://www.physiol.sci.am).

Автореферат разослан 3-го марта 2017г.

Ученый секретарь Спец. Совета 023

*Աբելյան*

к.б.н. Н.Э. Тадевосян

**Թեմայի արդիականությունը:** Օօի թույներն եղել են և շարունակում են մնալ կենդանական աշխարհի առավել ինտենսիվ հետազոտվող տոքսինները: Որպես դեղամիջոց՝ օօի թույնը լայնորեն կիրառվել է ինչպես ավանդական արևեյան, այնպես էլ՝ չինական բժշկության մեջ: Ժամանակակից բժշկությունում օօի թույնն օգտագործվում է որպես ցավազրկող և հակաբորբոքային միջոց ծայրամասային նյարդային համակարգի հիվանդությունների դեպքում: Կորրայի թույնից անջատված հիմնական գործող բաղադրիչը՝ կորրոտորսինը ունի ցավազրկող և հանգստացնող ազդեցություն, օրինակ՝ սրտի անորթների սպազմների, բրոնխիալ ասթմայի, չարորակ ուռուցքների ժամանակ (Steeg P.S., 2010):

Պետք է նշել, որ օօերի թույնի մեջ կենսաբանական սուբստրատի հետ փոխազրեցության ժամանակ բարձր ընտրողականությամբ օժնված առաջնային կառուցվածքով միմյանց նման նյութերի առկայությունը դարձնում է թույնը հիանալի կենսատեխնոլոգիական գործիք ֆիզիոլոգիական պրոցեսների կառուցվածքա-ֆունկցիոնալ ասպեկտները ուսումնասիրելու համար (Qian B. & Pollard J., 2010):

Վերջին տարիների ուսումնասիրությունները ավելի ակնառու են դարձել օօերի, մասնավորապես՝ իժերի, թունագեղձերի պրոտեոմային և տրանսկրիպտոմային համեմատական վերլուծությունների անցկացման անհրաժեշտությունը (Sanz *et al.*, 2008): Տրանսկրիպտոմային հետազոտություններն իրենցից ներկայացնում են օօերի թունագեղձերում սինթեզվող մասնակի և ամբողջական շղթայով տրանսկրիպտոմների կատալոգ: Այսիսի տվյալները սակավաթիվ են, սակայն արդեն իսկ բավական շատ են ենթադրություններն այն մասին, որ թույնում առկա պեպտիդները մինչ հայտնի տոքսինների վերածվելը, ենթարկվուա են մի ամբողջական կասկադային հետորանսյացիոն փոփոխությունների:

Օօերի թույնի վերը նշված և բազմաթիվ այլ առանձնահատկությունները դարձնում են այն ուսումնասիրման բավականին հետաքրքիր և հեռանկարային օբյեկտ, որի իրական գիտական արժեքը ակնհայտորեն կաճի թույնի բաղադրությունում առկա կենսաբանորեն ակտիվ նյութերի նոր յուրօրինակ հատկությունների բացահայտման հետ համատեղ:

### **Ուսումնասիրության նպատակն ու խնդիրները:**

Ներկայացվող հետազոտության նպատակն է հանդիսացել բազմակողմանի ուսումնասիրել դեղաբանական ակտիվ նյութեր պարունակող կովկասյան գյուրզայի թույնի (*Macrovierpa lebetina obtusa*, MLO), ինչպես նաև առանձին բաղադրիչների դերը և կիրառում որոշ պայտոլոգիաների՝ նեյրոդեգեներատիվ (Ալցիեմերի հիվանդություն) և օնկոլոգիական (Կորուկի սարկոմա), հնարավոր բուժման գործընթացում: Գնահատել թույնի բաղադրիչների սիներգիկ փոխազրեցության աստիճանը վերջինիս բազմաթիվ ֆունկցիաների, այդ թվում նյարդապաշտպան ազդեցության իրականացման ընթացքում: Առավելագույն

չափով հետազոտել թույնի ազդման մոլեկուլային մեխանիզմներն, որոնց շնորհիվ դիտվում է դրական փոփոխություն նշված հիվանդությունների կլինիկական պատկերում:

Հետազոտության նպատակի իրականացման համար սահմանվել են հետևյալ խնդիրները.

1. Ուսումնասիրել կովկասյան գյուրզայի թույնի ազդեցությունը հիպոկամպի բջիջների մորֆոֆունկցիոնալ և էնկտրաֆիզիոլոգիական ցուցանիշների վրա Ացհեյմերի հիվանդության ամիլիտային մոդելում:
2. Ուսումնասիրել կովկասյան գյուրզայի թույնի հակաօքսիդիչ ազդեցությունը նաև այլ օրգան համակարգերի վիճակի վրա Ացհեյմերի հիվանդության ամիլիլդային մոդելում:
3. Գնահատել կովկասյան գյուրզայի թույնի և օրտոսատատինի՝ S-180 սարկոմայի վրա ունեցած հակառակուցքային ազդեցությունը:
4. Բացահայտել կովկասյան գյուրզայի թույնի և օրտոսատատինի կապվելու ունակությունը S-180 ուռուցքի բջիջների գենոմային ԴՆԹ-ի հետ և ազդեցությունը Վերջինիս էնկուրաֆորետիկ շարժունակության վրա:
5. Որոշել ուռուցքակիր հյուսվածքում կովկասյան գյուրզայի թույնի և օրտոսատատինի in vivo ազդեցությունը լիպիդների գերօքսիդային օքսիդացման աստիճանի և հակաօքսիդանտային ֆերմենտային համակարգի բաղադրիչների ակտիվության վրա:

### Աշխատանքի գիտական նորույթն ու գիտագործնական նշանակությունը:

Տվյալ հետազոտություններում թույնի ներմկանային և ԱԲ ներուղեղփորոքային ներարկման միջոցով սկիզբ է դրվում մի շարք կասկադային պրոցեսների ձևավորմանը: Իսկ օգի թույնով 10 րոպե մշակումը թերում է խայթոցից նոյնիսկ բավականին հեռու գտնվող հյուսվածքների որոշակի փոխակերպմանը: Մրանով էլ արտահայտվում է կենդանի օրգանիզմներում թույնի արագ տարածումն, որի համար պատասխանատու են ոչ միայն թույնի բաղադրամասերն, այլ դրանց հյուսվածքների հետ փոխազդեցության երկրորդային պրոդուկտները (լիզոֆոսֆոլիպիդներ և այլն): Նմանատիպ միջնորդված ազդեցության մեխանիզմների ուսումնասիրությունն ակնհայտ հետաքրքրություն է ներկայացնում այսպես կոչված “spreading” էֆեկտի և սիներգիզմի տեսության բնագավառում հիմնարար պարզաբանումներ կատարելու համար:

Մեր ուսումնասիրություններն ունեն նաև ուղղակի կիրառական նշանակություն, քանի որ վկայում են, որ օգի թույնում առկա սախտակուցներն ունեն դրական ազդեցություն ինչպես արագ զարգացող քաղցկեղների տարբեր տիպերի (մասնավորապես՝ սարկոմաների), այնպես էլ բազմաթիվ այլ (մասնավորապես՝ նեյրոդեգեներատիվ, օրինակ՝ Ացհեյմերի հիվանդությունը)

հիվանդությունների կասեցման գործում: Այս սպիտակուցներից շատերն այսօր կարող են դառնալ դեղագործության նոր, ժամանակակից ուղղության զգալի մաս: Այսպիսով, նշված հետազոտությունն ակնհայտ գիտագործնական արժեք է ներկայացնում, այն է՝ Հայաստանի Էնդեմիկ հերպետոֆաունային յուրահատուկ կենսաբանական ակտիվ նյութերի հնարավոր հակառակուցքային և հականեյրոդեգեներատիվ հատկությունների բացահայտումը:

Պաշտպանության ներկայացվող հիմնական դրույթներն են.

1. Ե՛վ օրտուստատինը, և' կովկասյան գյուրզայի թույնն օժտված են հակառակուցքային ազդեցությամբ և կարող են ճնշել Կրոկերի սարկոմայի աճն ուռուցքակիր մկների մոտ:
2. Ե՛վ օրտուստատինը, և' կովկասյան գյուրզայի թույնի բաղադրամասի որոշ տարրեր ունակ են կապվելու S-180 սարկոմայի քջիջների գենոմային ԴՆԹ-ի հետ, ինչը կարող է ճնշել որոշ գեների էքսպրեսիան:
3. *In vivo* մշակման ժամանակ օրտուստատինը և կովկասյան գյուրզայի թույնը ցուցաբերում են հակաօքսիդանտային հատկություններ Կրոկերի սարկոմայի դեպքում:
4. Կովկասյան գյուրզայի թույնն օժտված է ախտադեղագործական ակտիվությամբ և կարող է ցուցաբերել նյարդապաշտպան հատկություններ Ացիեմերի հիվանդության ամիլիդային մոդելում:

### **Աշխատանքի փորձարկումը և հրապարակումները:**

Ստենախոսության արդյունքները ներկայացվել են տարբեր սեմինարներում և միջազգային գիտաժողովներում: Հրատարակված են թեմայի հետ առնչվող 18 աշխատանք, որոնցից 9 հոդված և 9 թեզիս:

**Աստենախոսության կառուցվածքը և ծավալը:** Աստենախոսության ծավալը կազմում է 105 էջ: Այն բաղկացած է հետևյալ գլուխներից՝ ներածությունից, գրական ակնարկից (Գլուխ 1), փորձարարական մասից (Գլուխ 2), արդյունքներից և դրանց ըննարկումից (Գլուխ 3), ամփոփումից, եզրակացություններից, օգտագործված գրականության ցանկից (ընդհանուր 177 աղբյուր), 1 աղյուսակից և 20 նկարից:

## ՀԵՏԱԶՈՏՈՒԹՅՈՒՆՆԵՐԻ ՄԵԹՈԴՆԵՐԸ ԵՎ ՆՅՈՒԹԵՐԸ

### 2.1 Ալցիեյմերի հիվանդության կենդանական մոդելի ստացումը

Ալցիեյմերի հիվանդության կենդանական մոդելի ստացումը նկարագրված է Մորիսի աշխատանքում (Maurice *et al.* 1996): Ուսումնասիրության համար օգտագործվել է կենդանիների 5 խոմբ:

1. Առնետներ, որոնց չի ներարկվել  $\text{A}\beta_{25-35}$  ամիլիդ (Sigma-Aldrich) և,  $MLO$  թույն (հնտակտ առնետներ):
2. Առնետներ, որոնց ներարկվել է  $\text{A}\beta_{25-35}$  ամիլիդ ներուղեղփորքային ճանապարպով, ինչպես նաև ներարկվել է ստերիլ թորած ջուր (յուրաքանչյուրին 0,5 մլ) ներմկանային եղանակով (ԱՀ առնետներ):
3. Առնետներ, որոնց գլխուղեղի լատերալ փորոք ներարկվել է  $\text{A}\beta_{25-35}$  ամիլիդ ներուղեղփորքային ճանապարհով, ինչպես նաև ներմկանային եղանակով ներարկվել է  $MLO$  թույն ( $LD50$  չափամիջին 5%-անոց լուծույթ 0,5 մլ) յուրաքանչյուր կենդանուն 7 անգամ (յուրաքանչյուրին 0,5 մլ)<sup>1</sup> 1 օր ընդմիջումով: Նախկինում նաև ցոյց է տրվել մկան համար անհրաժեշտ  $MLO$  թույնի  $LD50$ -ի քանակը ներերակային ճանապարհով (18.471.4 մկգ) (Kurtovic *et al.*, 2014):
4. Առնետներ, որոնց ներուղեղփորքային ճանապարպով ներարկվել է թորած ջուր, ինչպես նաև ներմկանային եղանակով ներարկվել է  $MLO$  թույն ( $LD50$  չափամիջին 5%-անոց լուծույթ 0,5 մլ) յուրաքանչյուր կենդանուն 7 անգամ<sup>1</sup> օր ընդմիջումով:
5. Առնետներ, որոնց ներուղեղփորքային ճանապարհով ներարկվել է թորած ջուր (ստուգիչ), ինչպես նաև ներմկանային եղանակով ներարկվել է ստերիլ թորած ջուր յուրաքանչյուր կենդանուն 7 անգամ (յուրաքանչյուրին 0,5 մլ)<sup>1</sup> օր ընդմիջումով:

### 2.2 Հիպոկամպի նեյրոնների էլեկտրաֆիզիոլոգիական ուսումնասիրությունը

Կենդանիները անզգայացվել են ուրեսանով (1.2 գ/կգ), անշարժացվել են 1%-անոց դիֆիլինով (25 մգ/կգ, Ն/փ) և տեղափոխվել են արհեստական շնչառության փուլ: Ողնուղեղը (կրծքային  $T2-T3$  հատվածներ) հատվել է տեղային նովոկայինային անզգայացման պայմաններում: Դրորող էլեկտրոդը ներմուծվել է իազիլատերալ էնտորինալ կեղևի մեջ հետևյալ ստերեոտաքսիկ կոորդինատներով՝ AP – 9, L  $\pm 3.5$ , DV +4.0 մմ, իսկ գրանցող ապակյա 1 մկմ ծայրով միկրոէլեկտրոդը, որը լցված է 2 M NaCl-ի լուծույթով, քազմակի իջեցվել է հիպոկամպի մեջ AP –3.2-3.5; L $\pm 1.5-3.5$ ; DV +2.8-4.0 մմ կոորդինատներով:

### 2.3 Հիստոքիմիական անալիզ

Հիստոքիմիական անալիզն իրականացվել է ըստ Մելիքսեթյանի կողմից մշակված մոտեցման (Yenkoyan *et al.* 2011), համաձայն որի որոշվում է  $\text{Ca}^{2+}$ -կախյալ թթու ֆուֆատազի ակտիվությունը: Այս մեթոդը շիլինգարյանի մեթոդի

(Chilingaryan *et al* 2006) փոփոխված տարբերակն է: Չիլինգարյանի մեթոդի հիմքում ընկած է կալցիումի իոնների՝ անօրգանական ֆոսֆատն իրենց կապելու ունակությունը:

#### **2.4 Սարկոմա S-180 կենդանական մոդելի ստացումը**

Սարկոմայի բջիջները ներարկվել են ներմաշկային եղանակով մկների աջ թևի տակ: Եթե ուռուցքի մեծությունը հասել է 100-300 մմ<sup>3</sup>, առանձնյակները բաժանվել են 3 խմբի (5-ական մուկ). ուռուցքի ստուգիչ խումբ, որին ներարկվել է PBS, օրտուստատինով մշակվող խումբ, *MLO* օճի թույնով մշակվող խումբ:

Երրորդ մշակվող խմբին ներարկվել է 1 մգ/կգ չափաբաժնով օրտուստատին, որը լուծվել է PBS-ի մեջ, և 5 օրվա ընթացքում (50 մկգ) ներարկվել մկներին, իսկ երրորդ խմբին՝ 10 մկգ/մուկ չափաբաժնով *MLO* թույն (Marcinkiewicz *et al* 2003): Վերջին ներարկումից 24 ժամ անց բոլոր մկները կշռվել են և սպանվել գլխատման միջոցով:

#### **2.5 Ուռուցքի հիստոլոգիական ուսումնասիրումը և *in vivo* հակառակուցքային ակտիվության գնահատումը**

Ուսումնասիրություններն անց են կացվել էպիֆյոտրեսցենտային տրինոկուլյար մանրադիտակի միջոցով (AmScope, USA):

Հակառակուցքային ակտիվությունը գնահատվել է հետևյալ բանաձևի միջոցով:

$$T_A = [(A-B)/A]*100\%$$

Որտեղ՝

$T_A$  – հակառակուցքային ակտիվությունն է,

A-ն ստուգիչ խմբում ուռուցքի միջին քաշն է,

B-ն՝ ուռուցքի միջին քաշն է փորձարկվող խմբում:

#### **2.6 ԴՆԹ-ի շարժունակության որոշումը էլեկտրաֆորեզի միջոցով**

ԴՆԹ-ի շարժունակության որոշման անալիզն անց է կացվել, որպեսզի գնահատվի օրտուստատինի և *MLO* օճի թույնի կապվելու ընդունակությունը գենոմային ԴՆԹ-ի հետ (Wang *et al.* 2012): Գենոմային ԴՆԹ-ն առանձնացվել է S-180 սարկոմայի բջիջներից (precellys tissue DNA kit, PeQlab, Germany): Այնուհետև սպեկտրաֆոտոմետրիկ եղանակով որոշվել է ԴՆԹ-ի կոնցենտրացիան (Eppendorf BioPhotometer plus, Germany): Հավասար քանակությամբ ԴՆԹ-ն և օրտուստատինը 30 րոպեների ընթացքում իրար խառնելուց հետո, ստացված ԴՆԹ – օրտուստատին խառնուրդն էլեկտրաֆորետիկ եղանակով անց է կացվել 1%-անց ագարոզային գելի միջով (PerfectBlue™ Horizontal Mini Gel System, PeQlab, Germany): ԴՆԹ-ի անցումը դիտարկվել է ուլտրամանուշակագույն լուսի տակ (illuminator E-BOX VX2-VILBER LOURMAT, PeQlab, Germany):

## **2.7 Քիմյումինեսցենտային վերլուծություն**

Թթվածնի ակտիվ ձևերի քանակությունն որոշվել է քեմիյումինեսցենտային անալիզի միջոցով: Հյուսվածքային հոմոգենատների գերթույլ լուսարձակման ինտենսիվությունը չափվել է քվանտոմետրիկ սարքում, որն իրենից ներկայացնում է գերարագ ֆոտոնային հաշվիչ, 380-630 նմ սպեկտրալ զգայունությամբ: Քիմյումինեսցենտային անալիզի այս սարքը չափազանց զգայուն է և ունակ է գրանցել նույնիսկ 10-15 Վտ ճառագայթվող էներգիա (BERTHOLD Technologies, Germany):

## **2.8 Լիպիդների գերօքսիդային օքսիդացման որոշում**

Լիպիդային գերօքսիդները կայուն չեն, և առանձնանում են կապերի բարդ սերիայով: Առավել հայտնի է մալրնային երկալիթիդը (ՄԵԱ): ՄԵԱ-ի մակարդակը որոշվել է սպեկտրաֆոտոմետրիկ չափումներով (Stalnaja and Garishvili, 1985): Լիպիդների գերօքսիդային օքսիդացման (ԼԳՕ) ինտենսիվությունն որոշվել է թիոբարիթուրային թթվի (ԹԲԹ) հետ փոխազդրող արգասիքների կուտակմամբ (Զաքարյան Ա. Ե. և այլք 2003): Մեթոդի հիմքում ընկած է ՄԵԱ-ի և ԹԲԹ-ի միջև ընթացքն ուսակցիան, որը բարձր ջերմաստիճանի ( $100^{\circ}\text{C}$ ) և pH-ի թթվային արժեքների դեպքում ընթանում է գունավորված եռմեթիլային կոմպլեքսի առաջացմամբ, որը պարունակում է 1 մոլեկուլ ՄԵԱ, 2 մոլեկուլ ԹԲԹ: Առաջացած կոմպլեքսը կլանում է 532 նմ ալիքի երկարությունում: Չափումները կատարվել են CT- 2600 սպեկտրաֆոտոմետրի միջոցով (CT-ChromTech, Taiwan):

## **2.9 Սուպերօքսիդիսմուտազի ակտիվության սպեկտրաֆոտոմետրիկ որոշումը աղբենալինի միջոցով**

Սուպերօքսիդիսմուտազի (ՍՕԴ) ակտիվությունն որոշվել է օգտագործելով մեթոդը, որի հիմքում ընկած է աղբենալինի ինքնարօքսիդացման ուսակցիայի արգելավման ուսակությունը pH = 10.2: Մթածնի անիոն ուսուիկայի առկայությամբ աղբենալինը օքսիդանում է՝ առաջացնելով աղբենոքրում (Զաքարյան Ա. Ե. և այլք 2003): Աղբենոքրումի կոնցենտրացիան որոշվել է 480 նմ-ում՝ օգտագործելով CT-2600 սպեկտրաֆոտոմետրը (CT-ChromTech, Taiwan): Սպիտակուցի կոնցենտրացիան որոշվել է Լոուրիի մեթոդի միջոցով (Lowry, O. H et al 1951):

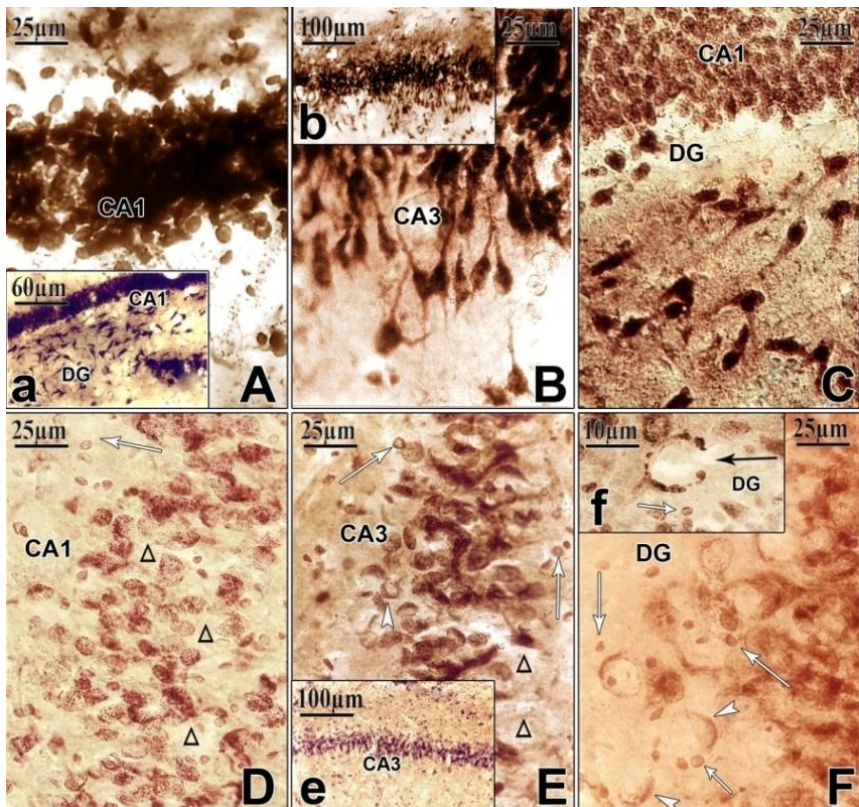
## **2.10 Վիճակագրական վերլուծություն**

Քիմյումինեսցենտային անալիզի, ԼԳՕ ինտենսիվության և ՍՕԴ-ի ակտիվության տվյալների քանակական վերլուծությունը կատարվել է ըստ Ստյուտենտի տ-չափանիշի: Սպիտակուցի քանակի միջին արժեքների միջև առկա տարբերությունների հավաստիությունը գնահատվել է ANOVA թեստի միջոցով: Էնեկտրաֆորեզի արդյունքները մշակվել են "Image J" ծրագրային փաթեթի միջոցով:

## ԱՐԴՅՈՒՆՔՆԵՐԸ ԵՎ ՔՆՆԱՐԿՈՒՄԸ

### 3.1 Առնետի ուղեղի հիպոկամպի մորֆոնկցիոնալ վիճակի ուսումնասիրությունն Ալցիեմերի հիվանդության ամիլիտային մոդելում

Հիպոկամպի CA1 և CA3 դաշտերում և ատամնավոր գալարում ինտակտ առնետների նեյրոնները տեղակայված են շարքով, ունեն շատ բարձր խտություն և ներկման բարձր ու հավասարաչափ ինտենսիվություն: Նրանք բազմանկյունածն, եռանկյունածն և օվալածն են և բնորոշվում են թթու ֆուֆատազի բարձր ակտիվությամբ: Տարբերակվում են դենդրիտները, հստակորեն տարբերակվում են բազալ դենդրիտները (Նկար 1 A-C): Համեմատած առողջ առնետների հիպոկամպի հետ ԱՀ առնետների հիպոկամպի կտրվածքներում (Նկար 1 D-F) առկա են նկատելի թիթեղածն մասնիկներ՝ ամիլիտային վահանիկներ, ծևափոխվել են սպիտակ և սև նյութերը: Մեծ նեյրոնները ներգրավվել են ատամնավոր գալարում, որը ցրված ձևով է տեղակայված և բնորոշվում է թթու ֆուֆատազի ցածր ակտիվությամբ: Հիպոկամպի CA1 և CA3 դաշտերում ևս նվազել է ֆուֆատազային ակտիվությունը: Նոյն տեղերում նկատվում է բջջային կառուցների սպոնգանման նոսրացում: Մորֆոլոգիական պատկերը հիշեցնում է նյարդային բջիջների մեծ այսուց, որն իրենից ներկայացնում է բջջային պաթոլոգիայի բավականին տարածված տեսակը: Նեյրոններում նկատվում են կառուցվածքային փոփոխություններ՝ նեյրոֆիբրիլային մարմնիկների կորուստ: Մի կողմում բջիջներն ունեն բաց գունավորում, իսկ հաջորդ կողմում նրանք բավականին ուժգին ներկված են: Այս բջիջները նման են սուրճի հատիկների: Հիպոկամպի CA1 դաշտում և ատամնավոր գալարում նկատվում են դեգեներատիվ փոփոխություններ: Ամբողջությամբ բացակայում են ծայրային ճյուղավորման ռեակցիաները: Նեյրոնի դեգեներատիվ գործընթացներն ուղեկցվում են հիպոկամպի CA1, CA3 դաշտերում նեյրոնի ցիտոպլազմայում սպոնգանման ալվեոլային վիճակի առաջացմամբ: Հիպոկամպի CA1 դաշտը և ատամնավոր գալարը բնորոշվում են "դատարկ" նեյրոններով:



Նկար 1. Ինվակտ առնելիքների հիպոկամպի (A-C) և  $A\beta_{25-35}$  ամիլիդի բիլատերալ ներուղեղի կորորպային ներարկման դեպքում (D-F) կորվածքները: Նեյրոնները հիպոկամպի CA1 (A, a, D) և CA3 դաշտերում (B, b, E), աղամնավոր գալարում (DG) (C, F, f): (E, F – կենդրոնական քրոմագրով, սև ցուցալար – ծերոնական սկավառակ; սպիրալ ցուցալար – գլիայի կորիզ; եռանկյունաձև հարված – լցված նեյրոնային հարվածներով, ցուցալարի գլխիկ – բրզածն նեյրոնների ճեղքած կորիզներ, կենդրոնական քրոմագրով):

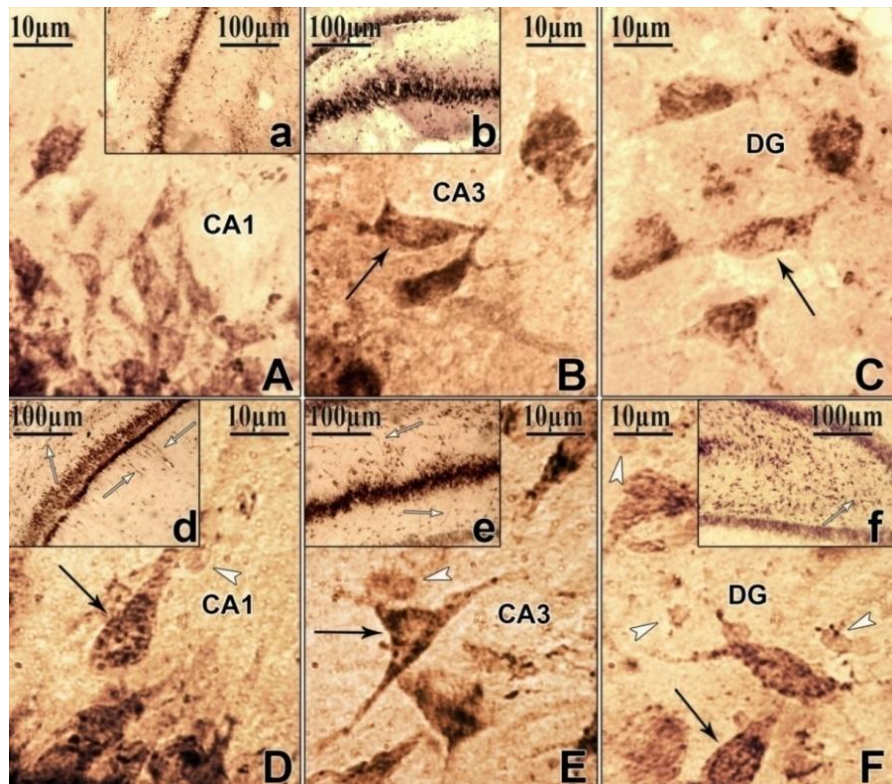
Ատամնավոր գալարի և հիպոկամպի CA3, CA1 դաշտերում առկա են միջրջային տարածություններ: Նեյրոնների մարմիններն, որոնց մեծամանությունը ենթարկվել են քրոմատոփիզի, կորանում են և ուժում հիպոկամպի CA3 դաշտում, իսկ նեյրոնների կորիզները գրավում են կենտրոնական դիրք: Ատամնավոր գալարի մեծ բրզային բջջների

Էկտոպիկական անհամաշափորեն փքված կորիզները շրջապատված են նստվածքի մուգ շերտով, առկա է ծերունական սկավառակ:

### 3.2 Կովկասյան գյուրզայի թույնի ազդեցությունը Ացիեմերի հիվանդության հիստորիական պատկերի վրա

*MLO* թույնով մշակումից հետո (Նկար 2A-C) վերականգնվում են նորմալ ֆունկցիոնալ վիճակին նպաստող ներքջային կապերը, որը խոսում է թույնի որոշակի նյարդապաշտպան հատկության մասին: *MLO* թույնը վերականգնում է բջիջների չափն ու ձևը, որն էլ ակնհայտորեն բերում է նեյրոնի պլազմատիկ թաղանթի վերականգնմանը: Առկա է ուժեղ կապ մազանոթների և բջիջների միջև, բարձր թթու ֆոսֆատազային ակտիվությամբ նեյրոնները սովորաբար կապվում են միկրոանոթների հետ, մուգ ներկված պերիցիտները տեսանելի են դառնում դրսի պատում: Անոթների աճով է պայմանավորված նաև բջիջների պրոլիֆերացիան և տարբերակումը: Նյարդային բջիջները վերականգնում են իրենց ձևը: *MLO*-ով մշակվող *ԱՀ* – ի մոդելի արդյունքների ուսումնասիրումը ցույց է տալիս, որ դիտվում են դրական փոփոխություններ նեյրոնների կառուցվածքում, հիպոլիամափի դաշտերում նկատվում է նեյրոնների խտության աճ, ակտիվանում է նյութափոխանակությունն, որի շնորհիվ էլ բջիջը կենդանի է մնում: Նկատվում են նոր նյարդային բջիջներ հիպոլիամափի CA1 դաշտի դատարկ հատվածներում: Բոլոր դաշտերում բջիջները վերականգնել են իրենց նախկին չափն ու ձևը, կորիզը բջջու գրավել է կենտրոնական դիրք, ցիտոպլազման լցված է նստվածքի հատիկներով, պերիկարիոնը շրջապատվել է տարբեր տիպի հատիկավորմամբ, որը բնորոշ է վերականգնվող նեյրոնների առաջին գրգռմանը: Կա որոշակի տարբերություն նեյրոնների ներկման ինտենսիվության մեջ: Արյան անոթների շուրջ ի հայտ են գալիս որոշակի դենդրիտային և սումատիկ հավելվածներ, անգիտուելը վերականգնվում է:

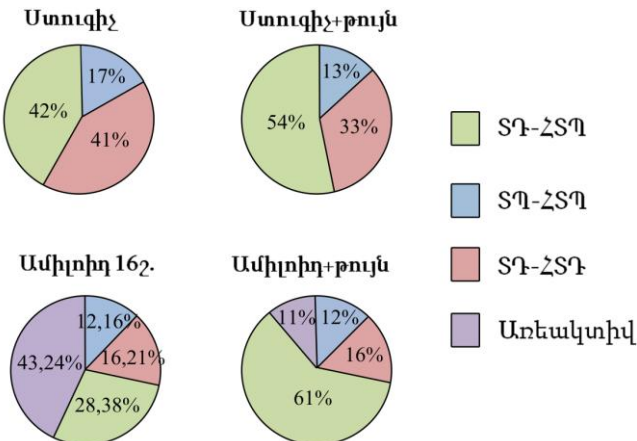
Մեր արդյունքները ցույց են տալիս, որ *MLO* թույնը առողջ՝ ներուեղինորոքային ճանապարհով թորած ջուր ներարկված կենդանիների հիպոլիամափի CA1, CA3 դաշտերում և ատամնավոր գալարի նեյրոնների կառուցվածքային պաթոլոգիկ փոփոխությունների չի բերել (Նկար 2 D-F): Հստակ, ինչպես նորմայում, նկատելի են նեյրոնի մարմինը, պերիցիտները, չկան բազալ դենդրիտների կառուցվածքային ճյուղավորման փոփոխություններ: Հստակորեն կարելի է ասել, որ թույնը չունի պաթոլոգիկ ազդեցություններ, ուստի կարելի է այն կիրառել *ԱՀ*-ի մոդելում՝ հաշվի առնելով նաև մեր կողմից ցույց տրված թույնի հակաօքսիդանտ հատկությունները:



Նկար 2. Բիլագերալ ներուղեղվիորոքային ճանապարհով  $A\beta_{25-35}$  ամիոտի ներարկված և MLO թույնով մշակվող առնեպների (A-C) և ներուղեղվիորոքային ճանապարհով թորած ջուր ու ներմկանային MLO թույն ներարկված առնեպների հիպոկամպի կորպաձքները (D-F): Ներուղեղը հիպոկամպի CA1 (A, a, D, d) և CA3 դաշտերում (B, b, E, e), աղամնավոր գալարում (DG) (C, F, f): Ներուղին նորմալ մորֆոլոգիայի վերականգնում (A-C), բջջային պատասխանները բացակայում են (a, b, d, f), վերականգնվում են ապիկալ և կողմնային դենդրիդները (A-C), գերսուցված բջիջները (D-F) օժիված են թթու ֆուֆատազի բարձր ակտիվությամբ (սև ցուցասլաք - կենդրոնական դիրքում գրնվող կորիզ, սպիտակ ցուցասլաք - արյան անոթներ պերիցիոններով, ցուցասլաքի գլխիկ - սաղելիդային գլայի կորիզ):

### 3.3 Առնետի ուղեղի հիպոկամպի նեյրոնների էլեկտրական ակտիվությունը Ացհեյմերի հիվանդության ամիլիդային մոդելում

Համեմատենք առողջ և թույն ներարկված կենդանիների հիպոկամպի նեյրոնների պատասխանների տոկոսային մասնաբաժինը (Նկար 3): Թույնի ազդեցությամբ դիտվում է հետտետանիկ պոտենցացիայի աճ (ՏԴ-ՀՏՊ 54%) ի տարրերություն ստուգիչ (ՏԴ-ՀՏՊ 42%), իսկ հետտետանիկ դեպրեսիան նվազում է ստուգիչ համեմատ՝ 41%-ից դառնալով 33%: Ամբողջությամբ բացակայում են առեակտիվ միավորները: Ամիլիդի ներարկումից հետո ի հայտ են գալիս առեակտիվ միավորները (43%), որոնք բնորոշ են ԱՀ պաթոլոգիային: Սակայն թույնի ավելացումից հետո դիտվում է այս նեյրոնների քանակի զգալի նվազում (11%): Կրկին դիտվում է հետտետանիկ պոտենցացիայի՝ ՏԴ-ՀՏՊ զգալի աճ՝ 28%-ից մինչև 61%:

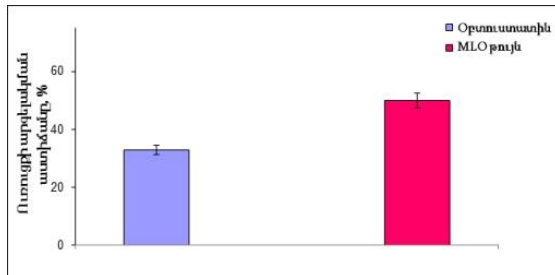


Նկար 3. Պարասխանների գործուային մասնաբաժիննը

### 3.4 MLO օձի թույնի և օբսուստատինի ազդեցությունը մկների S-180 ուռուցքի աճի վրա

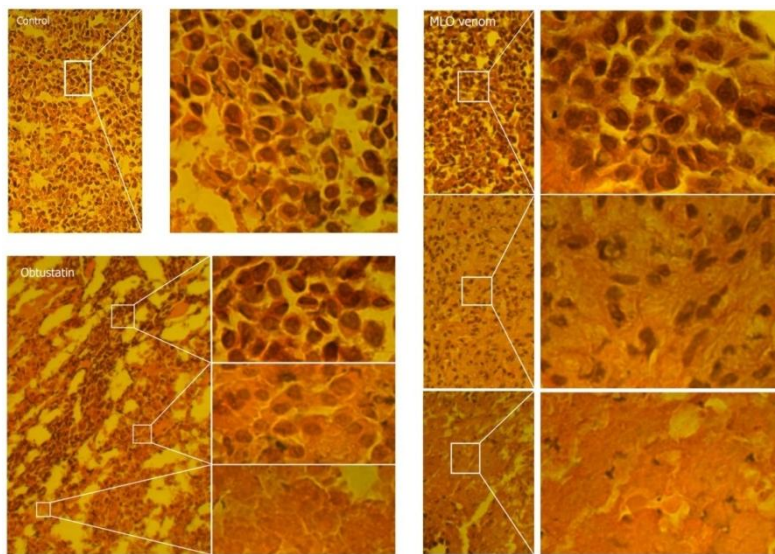
MLO օձի թույնի ազդեցությունը S-180 սարկոմայի վրա ամենահզորն է, համեմատած ստուգիչ և օբսուստատինի հետ: Ընդ որում S-180 սարկոմակիր մկների մարմնի քաշի զգալի փոփոխություն տեղի չի ունեցել, ինչը վկայում է այն մասին, որ ուռուցքի աճը, ինչպես նաև հետագա փոքրացումը պայմանավորված չէր ընդհանուր քաշի անկումով:

Արդյունքները ցույց են տվել, որ MLO օձի թույնը (10 մկգ/մուկ) և օբսուստատինը (50 մկգ/մուկ) զգալիորեն ճնշում են S-180 սարկոմայի աճը համեմատած ստուգիչի հետ, համապատասխանաբար 50 % և 33 % (Նկար 4):



Նկար 4. *S-180* սարկոմայի աճը ճնշվում է *MLO* օճի թույնի և օրդուստատինի ներարկումից հետո ( $p < 0.05$ ):

### 3.5 *MLO* օճի թույնի և օրտուստատինի ազդեցությունը *S-180* ուռուցքի հիստոլոգիական պատկերի վրա



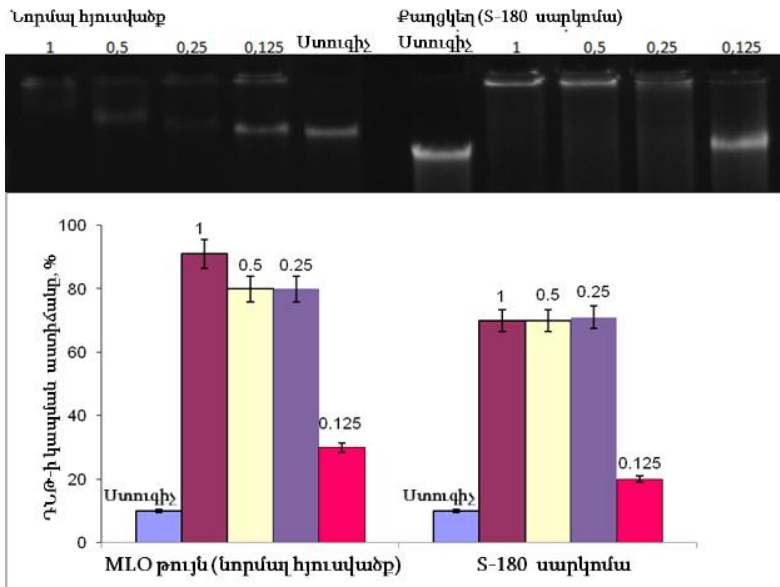
Նկար 5. *S-180* սարկոմայի ախտաբանական փոփոխությունները՝ *MLO* օճի թույն և օրդուստատին ներարկելուց հետո ( $\times 160$ ,  $640$  խոշորացմամբ):

*MLO* օճի թույն (10 մկգ/մուկ) և օրտուստատին (50 մկգ/մուկ) ներարկված մկների մոտ (Նկար 5) ուռուցքը զգալիորեն ավելի ճնշված է և փոքր, քան ստուգիչ մկների մոտ: Կարևոր է նշել, որ ստուգիչ ուռուցքային նմուշներում թշիջներն ավելի կրնակակտ դասավորված ունեն, իսկ *MLO* օճի թույն և օրտուստատին ներարկվածների մոտ՝ նկատելիորեն անկանոն: Սպուգիչ համեմատությամբ, մյուս երկու խմբերում նկատվում է նաև օջախային նեկրոզներ, նեկրոբիոզ, որն ավելի ցայտուն է արտահայտվում *MLO* օճի թույն

Ներարկված խմբի մոտ: Այն հատվածներում, որտեղ դեռ կան ուռուցքային թշիջներ, նկատվում է կորիզների պոլիմորֆիզմ: *MLO* օձի թույն ներարկված ուռուցքի ակտիվ մասը զգալիորեն ավելի ճնշված է օբսուստատին ներարկված և ստուգիչ խմբերի հետ համեմատած:

### **3.6 Օբսուստատինի և *MLO* օձի թույնի կապումը S-180 սարկոմայի թշիջների գենոմային ԴՆԹ-ի հետ**

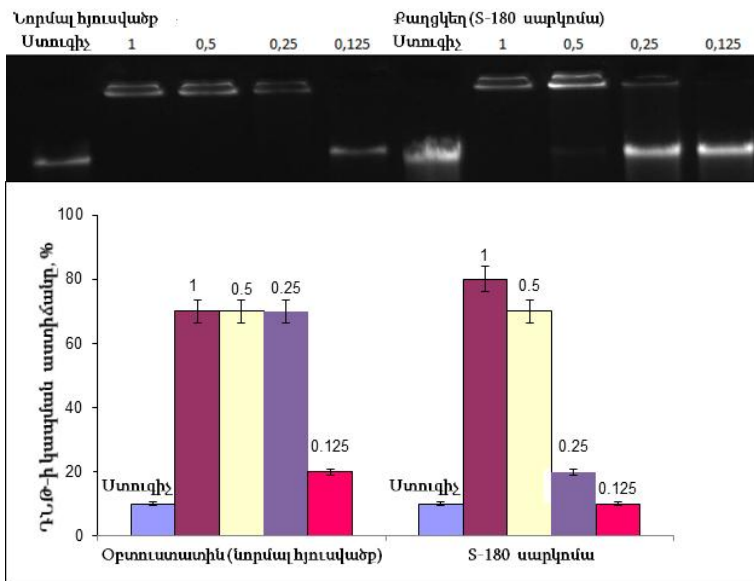
#### ***MLO* թույն(մգ/մլ)**



Նկար 6. *MLO* օձի թույնի ազդեցությամբ S-180 սարկոմայի թշիջների գենոմային ԴՆԹ-ի էլեկտրաֆորեզիկ շարժունակության անալիզ ( $p<0.05$ ):

Օբսուստատինը և *MLO* օձի թույնն ունակ են կապել S-180 ուռուցքի թշիջների գենոմային ԴՆԹ-ի հետ և արգելակել նրա էլեկտրաֆորետիկ շարժունակությունը: Թույնի կապումը նորմալ առողջ հյուսվածքից առանձնացված ԴՆԹ-ի հետ կախված է թույնի կոնցենտրացիայից: Իսկ սարկոմակիր հյուսվածքի դեպքում *MLO* օձի թույնի 3 կոնցենտրացիաներն (1 մգ/մլ, 0.5 մգ/մլ, 0.25 մգ/մլ) ունեն նման ազդեցություն (ԴՆԹ-ի կապումը մոտ 70% է): Սա նշանակում է, որ օձի թույնի կապումը S-180 սարկոմայի թշիջների գենոմային ԴՆԹ-ի հետ ավելի ուժեղ է քան առողջ հյուսվածքից առանձնացված ԴՆԹ-ի հետ (նկար 6):

### Օբսուստատին (մգ/մ)

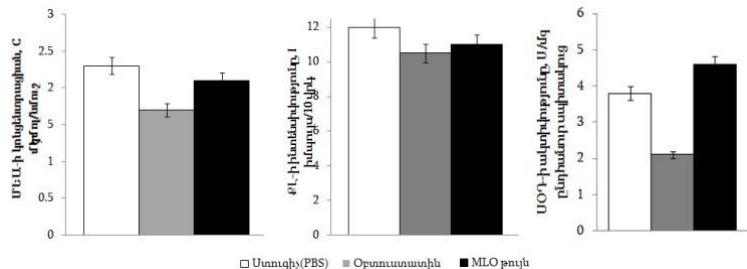


Նկար 7. Օբսուստատինի ազդեցությամբ S-180 սարկոմայի բջիջների գենոմային ԴՆԹ-ի էլեկտրոֆորեզիկ շարժունակության անալիզ ( $p<0.05$ ):

Օբսուստատինի դեպքում (համապատասխան կոնցենտրացիաներով) պատվերը փոփոխում է՝ նորմալ հյուսվածքից առանձնացված ԴՆԹ-ի դեպքում օբսուստատինի 3 տարբեր կոնցենտրացիաներ (1 մգ/մլ, 0.5 մգ/մլ, 0.25 մգ/մլ) ունեն նույն ազդեցությունն, իսկ ԴՆԹ կապման ցուցանիշը մոտ 70 % է: Ավելի փոքր կոնցենտրացիայի դեպքում (0.125 մգ/մլ) օբսուստատինի կապումը նորմալ հյուսվածքից առանձնացված ԴՆԹ-ի հետ գրեթե չի նկատվում՝ մոտ 20 %: S-180 սարկոմայի բջիջներից առանձնացված ԴՆԹ-ի հետ կապումը 0.25 մգ/մլ և 0.125 մգ/մլ կոնցենտրացիաների դեպքում 20 % և 10 % են համապատասխանաբար: Օբսուստատինի կապումը S-180 սարկոմայի բջիջներից առանձնացված ԴՆԹ-ի հետ ավելի թույլ է, համեմատած MLO օճի թույնի: Այսինքն, կարելի է ենթադրել, որ MLO օճի թույնի որոշ այլ բաղադրամասեր ևս կապվում են S-180 սարկոմայի գենոմային ԴՆԹ-ի հետ, ինչի շնորհիվ արգելակվում է գեների էքսպրեսիան և դրանով խոչընդոտվում է ուռուցքի հետագա զարգացումը (Նկար 7):

### 3.7 Ազատ ռադիկալային պրոցեսների և դրանց կարգավորող մեխանիզմների աշխատանքի փոփոխությունն օբյուստատինով և թույնով մշակումից հետո

Հայտնի է, որ օքսիդատիվ սթրեսը քաղցկեղի առաջացման պատճառ է հանդիսանում, իսկ լիպիդների գերօքսիդային օքսիդացման աստիճանն ինդիկատոր է հանդիսանում օքսիդատիվ սթրեսի համար: Այդ իսկ պատճառով տրամաբանական էր ուսումնասիրել  $L\text{-}9\text{O}$  և  $M\text{LO}$  պրոցեսների ինտենսիվությունը նաև  $S\text{-}180$  սարկոմայի դեպքում: Մեր ստացած արդյունքները ցույց են տվել, որ *in vivo* պայմաններում օբյուստատինով ( $1 \text{ mg/kg}$ ) և  $M\text{LO}$  օճի թույնով ( $10 \text{ mg/kg}$ ) մշակված նմուշներում քիմյումինեսցենցիայի ինտենսիվությունը նվազում է ստուգիչի հետ համեմատած (Նկար 8):



Նկար 8. Մալոնային երկալեհիդի քանակության գրարերությունը, սպոնքան քիմյումինեսցենցիայի ինվենսիվության մակարդակը, սուպերօքսիդիֆիզուլուազ ֆերմենտի ակտիվության գրարերությունը ( $\delta\text{A}_{412}$   $\text{mg}$   $\text{A}_{412}$ ) *in vivo* պայմաններում օբյուստատինով և  $M\text{LO}$  օճի թույնով մշակված  $S\text{-}180$  սարկոմայի հյուսվածքում ( $M\pm SEM$ ,  $p<0.05$ ):

ՄԵԱ-ի քանակը ևս նվազում է *in vivo* պայմաններում օբյուստատինով և  $M\text{LO}$  օճի թույնով մշակված նմուշներում, ընդ որում այն ավելի շատ է իջնում օբյուստատինի ազդեցությամբ, քան թույնի (Նկար 8): Քիմյումինեսցենտային անալիզի և ԹԲԾ թեստի արդյունքներն ակնհայտորեն ցույց են տալիս օբյուստատինի և  $M\text{LO}$  օճի թույնի հակաօքսիդանտային հատկությունը այս պաթոլոգիայի ժամանակ: Ըստ աղթենալինի ինքնաօքսիդացման արգելակման բնույթի (լուսի առկայությամբ, բարձր թՀ-ի դեպքում), օբյուստատինի ազդեցությունից հետո հյուսվածքներում  $U\text{O}\text{T}$  ֆերմենտի ակտիվությունը զգալիորեն նվազում է (մոտ երկու անգամ) և նկատելի աճ է ապրում ընդհանուր թույնի մշակումից հետո (Նկար 8):

## Եղակացություններ

1. Բացահայտված է, որ և' օրտուստատինը, և' կովկասյան գյուրզայի թույնը ունեն ակնհայտ հակառատուցքային ազդեցություն և ճնշում են S-180 սարկոմայի աճն ոտուցքակիր մկների մոտ (33% և 50% համապատասխանաբար ըստ մորֆոմետրիկ վերլուծության):
2. Ցույց է տրված, որ փորձարկվող թույնի բաղադրամասերը բերում են ոտուցքային բջիջների նեկրոզային օջախների առաջացման՝ խափանելով հյուսվածքի չարորակ վերափոխումը:
3. Ցույց է տրված, որ և' օրտուստատինը, և' MLO օճի թույնի բաղադրամասի որոշ այլ տարրեր ունակ են կապվելու S-180 սարկոմայի բջիջների գենոմային ԴՆԹ-ի հետ:
4. Բացահայտված է, որ *in vivo* մշակման ժամանակ օրտուստատինը և MLO օճի թույնը ցուցաբերում են հակաօքսիդիչ հատկություններ, ինչը ուղեկցվում է ՍՕԴ ֆերմենտի ակտիվության նվազմամբ՝ օրտուստատինի դեպքում, և աճով՝ թույնով մշակման դեպքում:
5. Կովկասյան գյուրզայի թույնը Ալցիեմերի հիվանդության կենդանական մոդելում դրական է ազդում հիպոկամպի նեյրոնների կառուցվածքային հատկությունների վրա: Հիպոկամպի CA1 և CA3 դաշտերում պահպանվում է նեյրոնների խտությունն, որն էլ վկայում է բջջների կենսունակ մնալու մասին:
6. Առնետների գլխուղեղի կեղև-հիպոկամպ շղթայի բջջային ակտիվության մակարդակների և տեսակների արտահայտված շեղումներն ամիլիդային մոդելում կանխարգելվում են գյուրզայի թույնի ցածր չափաբաժիններով ( $LD_{50}$ -ի 5%-անոց լուծույթ):

## Աստենախոսության թեմայով տպագրված աշխատությունների ցուցակ

1. Kirakosyan G. R., Mohamadvarzi M., Ghulikyan L. A., Zaqqaryan N. A., Kishmiryan A. V., Ayvazyan N. M.(2016). Morphological and functional alteration of erythrocyte ghosts and giant unilamellar vesicles caused by *Vipera latifi* venom. CBP Part C (190), p. 48-53.
2. Ghulikyan L. A., Mohamadvarzi M., Ghukasyan G. V., Kishmiryan A. V., Zaqqaryan N. A., Kirakosyan G. R., Ayvazyan N. M.(2016) Molecular events associated with *Vipera latifi* venom effect on condition of human red blood cells. . Proc. of YSU: Chemistry and Biology N2: p. 43 – 50.
3. N. Ayvazyan, M. Mohamadvarzi, G. Kirakosyan, L. Ghulikyan, N. Zaqqaryan (2016) Morphological and functional alteration of human erythrocytes caused by some iranian vipers' venom: novel glance at the old problem. Acta Physiologica, June, 217:42-42.
4. Ghulikyan L. A. (2015) Membranotropic effect of Montivipera raddei and Macrovipera lebetina obtusa venom with phospholipase A2 inhibited by p-bromophenacyl bromide. Proc. of YSU: Chemistry and Biology N3: p. 47 – 52.
5. Ghazaryan N.A., Ghulikyan L.A., Kishmiryan A.V., Kirakosyan G.R., Nazaryan O.H., Ghevondyan T.H., Zakaryan N.A., Ayvazyan N.M. (2015) Anti-tumor effect investigation of obtustatin and crude Macrovipera lebetina obtusa venom in S-180 sarcoma bearing mice. Eur J Pharmacol. 764: p.340-345.
6. Ghazaryan N.A., Ghulikyan L., Kishmiryan A., Andreeva T.V., Utkin Y.N., Tsetlin V.I., Lomonte B., Ayvazyan N.M. (2015) Phospholipases A<sub>2</sub> from *Viperidae* snakes: Differences in membranotropic activity between enzymatically active toxin and its inactive isoforms. BBA - Biomembranes, 1848 (2): p. 463-468.
7. Kazaryan N. A., Gulikyan L., Lomonte B., Andreeva T. V., Tsetlin V. I., Utkin U. N., Aivazyan N. M. (2014) Comparative analysis of membranotropic properties of various phospholipases A2 from venom of snakes of the family viperidae.// Dokl. Biochemistry and Biophysics, Volume 457, Issue 1, p. 125-127.
8. Ghazaryan N.A., Ghulikyan L.A., Kishmiryan A., Ayvazyan N.M. (2014) Comparative analysis of D49 A2 and K49 A2 isolated from Macrovipera lebetina obtusa and Bothrops jararacussu snake venoms. 8th IUPAP International Conference on Biological Physics, Beijing, China, p. 95.
9. Ghazaryan N.A., Ghulikyan L.A., Ayvazyan N.M., (2013) Morphological changes of proteolipid GUVs affected by *MLO* venom visualized with fluorescence microscope.// Journal of Membrane Biology, 246 (8): p. 627-632.
10. Kirakosyan G., Tadevosyan H., Ghazaryan N., Ghulikyan L., Ayvazyan N. (2014) The effect of *Macrovipera lebetina obtusa* viper venom on erythrocyte ghosts membrane ATPase activites. BBA-Bioenergetics, EBEC, Lisbon,

Portugal, e109-e110.

11. Ghazaryan N.A., Ghulikyan L.A., Tadevosyan H. H., Kirakosyan G. R., Ayvazyan N.M. Studies of membrane structure with fluorescent LAURDAN and PRODAN probes in the course of *Macrovipera lebetina obtusa* venom interaction. //Third Jubilee International Conference of neuroscience and biological psychiatry, Yerevan, Armenia, September 22-24, 2013 p.51.
12. Ghazaryan N.A., Ghulikyan L.A., Tadevosyan H. H., Kirakosyan G. R., Ayvazyan N.M. ANS- containing phospholipid giant unilamellar vesicle deformation under the influence of *Macrovipera lebetina obtusa* venom (PLA<sub>2</sub> inhibited). //Third Jubilee International Conference of neuroscience and biological psychiatry, Yerevan, Armenia, September 22-24, 2013 p.18.
13. Ghazaryan N., Ghulikyan L., Tadevosyan H., Kirakosyan G., Ayvazyan N., Membrane perturbation of erythrocyte ghosts induced by *Macrovipera lebetina obtusa* venom. // 9<sup>th</sup> European Biophysics Congress, Lisbon, Portugal, July 13<sup>th</sup> – 17<sup>th</sup>, 2013, p. 440.
14. Ghazaryan N.A., Ghulikyan L.A., Ayvazyan N.M., Molecular mechanisms of *Macrovipera lebetina obtusa* venom action on giant unilamellar vesicles from brain proteolipids. //Jubilee Int. Conf. "Physiological mechanisms of organisms functional regulation", Yerevan, Armenia, October 10-13, 2012 p. 117-121.
15. Ayvazian N. M., Ghazaryan N. A., Ghulikyan L. A. Lipid Bilayer Condition Abnormalities Following *Macrovipera lebetina obtusa* and *Montivipera raddei* Snake Envenomation. // Toxicon Special Issue: 17th World Congress of the International Society on Toxicology& Venom Week 2012, 4<sup>th</sup> International Scientific Symposium on All Things Venomous, Honolulu, Hawaii, July 8 - 13, 2012; Volume 60, Number 2, August 2012, p. 167.
16. Ghazaryan N.A., Ghulikyan L.A., Ayvazyan N.M., Giant unilamellar vesicles as an ideal system for the study of interaction with enzymatic components of venom.// Second European Symposium on Microbial Lipids, Microbial Lipids: Diversity in Structure and Function, Bern, Switzerland, May 16-19, 2012, p.49.
17. Ghazaryan N.A., Ghulikyan L.A., Ayvazyan N.M., Molecular mechanisms of GUVs from high density lipoproteins under the influence of *MLO* venom. //11<sup>th</sup> Int. School of Biophysics, Primosten, Croatia, September 30-October 9, 2012, p. 67.
18. Ghazaryan N.A., Ghulikyan L.A., Ayvazyan N.M., *Macrovipera lebetina obtusa* venom action on giant unilamellar vesicles from brain proteolipids.// Int. Young Scientists Conf. "Perspectives for development of molecular and cellular biology", Yerevan, Armenia, Sep 26-29, 2012, p.77-81.

Гуликян Лусинэ Алмировна

Протекторные механизмы влияния змеиного яда *Macrovipera lebetina obtusa* на животные модели болезни Альцгеймера и саркомы Крокера

**Резюме**

Ключевые слова: *MLO* яд, обтустатин, болезнь Альцгеймера, S-180 саркома.

При болезни Альцгеймера в мозгу наблюдаются следующие патологические процессы: накопление и отложение  $\beta$ -амилоида, активация астроцитов и микроглии, нарушение холинергической нейротрансмиссии. Крысам интракраниально вводили А $\beta$ 25-35 амилоид в сочетании с семикратным внутримышечным введением *MLO* яда (5% -ный раствор ЛД50 дозы 0,5 мл/крыса), с интервалом в 1 день. В гиппокампе А $\beta$  индуцированных крыс резко снизилась активность фосфатазы. В СА1 и СА3 полях появилось большое количество поврежденных нейронов. Системное введение малых доз *MLO* яда оказывает положительное влияние на структурные свойства нейронов, повышает обмен веществ и  $\text{Ca}^{2+}$ -зависимое фосфорилирование, также увеличивает плотность нейронов в СА1 и СА3 полях, что определяет выживаемость клетки. *MLO* яд поднимает уровень реакций тетанических депрессий – посттетанической потенциации после высокочастотной тетанической стимуляции энторинальной коры. После А $\beta$  индуцированной нейродегенерации увеличение количества нейронов гиппокампа может способствовать восстановительным процессам в гиппокампе.

Изолированный из *MLO* яда, обтустатин является самым коротким известным мономерным дезинтегрином змеиного яда и специфическим ингибитором  $\alpha 1\beta 1$  интегрина. Этот пептид имеет потенциальное терапевтическое влияние на прогрессирование меланомы, которое связано с ингибированием ангиогенеза. Для исследования противоопухолевого эффекта *MLO* яда и обтустатина проводились: гистологическое исследование, анализы для определения подвижности ДНК, некоторые биохимические анализы (хемиллюминесценция, ТБК-тест) на S-180 моделях мышей. Размер опухоли значительно подавляется под воздействием *MLO* яда (10 мкг/ мышь) и обтустатина (50 мкг/мышь): 50 % и 33 % соответственно. Наблюдается также снижение хемиллюминесценции, малонового диальдегида, которое сопровождается снижением активности супероксиддисмутазы при воздействии обтустатина и увеличением последнего при обработке ядом.

Таким образом, *MLO* яд и обтустатин могут внести значительный вклад в лечении болезни Альцгеймера и злокачественных опухолей.

Ghulikyan Lusine Almir

Protective influence mechanisms of *Macrovipera lebetina obtusa* snake venom on the animal models of Alzheimer's disease and Crocker sarcoma

**Abstract**

Keywords: *MLO* venom, obtustatin, Alzheimer's disease, S-180 sarcoma.

The pathological features in Alzheimer's disease brain include the accumulation and deposition of  $\beta$ -amyloid ( $A\beta$ ), activation of astrocytes and microglia and disruption of cholinergic neurotransmission. The rats are injected with  $A\beta_{25-35}$  amyloid intracerebroventricular in combination with the intramuscular injection of *MLO* venom (5% solution of LD 50 dose, 0.5 ml, per animal seven times at intervals of 1 day). The phosphatase activity has sharply dropped in the  $A\beta$  -induced rats in the hippocampus. The most vulnerable neurons have been in the field of the CA1 and CA3. The results of the study have shown that systemic administration of small doses of viper's *MLO* venom has had positive changes in the structural properties of neurons, increased metabolism, enhanced  $Ca^{2+}$  -dependent phosphorylation processes, also the density of neurons were increased in the CA1 and CA3 fields which determines cell survival. *MLO* venom increases the level of TD-PTP responses after high frequency tetanic stimulation of entorhinal cortex. Quantitative increase of hippocampal neurons can contribute to recovery processes after  $A\beta$  -induced neurodegeneration in hippocampus.

Isolated from the *MLO* venom, obtustatin represents the shortest known snake venom monomeric disintegrin specific inhibitor of  $\alpha 1\beta 1$  integrin. This low molecular weight peptide revealed a potent therapeutic effect on melanoma progression. Its oncostatic effect was related to the inhibition of angiogenesis. For elucidation the influence of obtustatin and crude *MLO* venom were used histological examination, DNA retardation assay and some biochemical tests (ChL, TBA-test) on S-180 sarcoma bearing mouse model. The size of tumor was significantly inhibited by *MLO* venom and obtustatin with the inhibitory rate of 50% and 33% at the doses of 10  $\mu$ g/mouse and 1 mg/kg/day respectively. Both ChL and MDA decrease in the two treated groups. Thus, both *MLO* venom and obtustatin can make a significant contribution for the treatment of Alzheimer's disease and malignant sarcoma.